

## ДИНАМІЧНІ ХАРАКТЕРИСТИКИ ЛАНЦЮГОВОГО ТЯГОВОГО ОРГАНА

**О**цінка параметрів міцності та витривалості елементів конструкції транспортувальних машин із ланцюговим тяговим органом, зокрема ескалатора, не може бути в повній мірі достовірною без дослідження динамічних процесів, які супроводжують роботу таких машин.

При цьому чим на більш ранніх етапах проектування будуть визначені динамічні характеристики машини і динамічні впливи на критерії міцності та надійності, тим ефективнішою буде побудова самого процесу проектування і розроблення машин.

Дослідження динамічних процесів та їх впливу на міцність машини можна розглядати в наступній послідовності:

- визначення та аналіз динамічних характеристик ланцюгового тягового органа – дослідження резонансних частот у роботі машини;
- дослідження динаміки електромеханічної системи машини (ЕМС) – формування блоків навантажень елементів конструкції машини;
- оцінка міцності (витривалості) деталей і вузлів машини в умовах багатоциклових навантажень на основі отриманих результатів динамічних досліджень.



**С.В. Бондарев**

доцент кафедри прикладної механіки Національного технічного університету України «Київський політехнічний інститут», академік Підйомно-транспортної академії України, к.т.н.



**Ю.П. Горбатенко**

старший викладач кафедри прикладної механіки Національного технічного університету України «Київський політехнічний інститут», академік Підйомно-транспортної академії наук України



**О.В. Загора**

аспірантка кафедри прикладної механіки Національного технічного університету України «Київський політехнічний інститут»

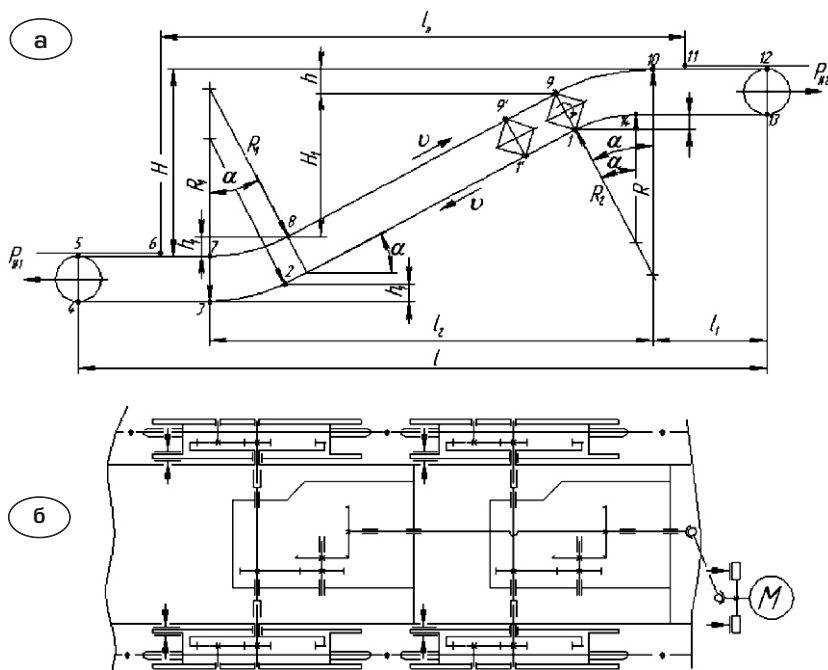
У контексті висвітлення даної проблематики виносимо на розгляд послідовну серію публікацій.

Спочатку розглянемо задачу визначення динамічних характеристик ланцюгового тягового органа як однієї з ланок електромеханічної системи ескалатора.

ЕМС ескалатора включає наступні елементи (ланки):

- несуча металокаркас (МК);
- ланцюговий тяговий орган;
- редуктор;
- електродвигун.

При конструюванні МК у вигляді багатоопорних ферм частоти перших форм коливань МК, а також частоти перших форм коливань трансмісії редуктора значно перевищують частоти перших форм коливань ланцюгового тягового органа і електродвигуна. Виходячи з цього, в першому наближенні розглядаємо МК і редуктор як абсолютно жорсткі ланки, а ЕМС ескалатора як таку, що



**Рис. 1.** Ескалатор із проміжним приводом, вбудованим у міжсходовий простір ЗТХ-45:

а – схема траси; б – схема привідної установки

складається з двох ланок: ланцюгового тягового органа і електродвигуна [1].

Оцінка міцності деталей та вузлів ескалатора при багатоцикловому навантаженні на етапі проектування проведена для ескалатора з проміжним приводом, вбудованим у міжсходовий простір ЕТХ-45 (рис. 1).

Для проведення аналізу динаміки тягового органа ескалатора попередньо виконаний тяговий розрахунок ескалатора висотою підйому 45 м. У результаті визначені сили натягу ланцюгового тягового органа ескалатора в характерних точках траси [1, 2].

Ланцюговий тяговий орган ескалатора між точками збігання (закладення) і набігання (координата, рис. 1, а) на привідні зірочки (велика нижня гілка) є системою із зосередженими параметрами.

Тяговий орган розбивається на вісім відрізків (восьмимасова система), кожен з яких характеризується масою  $m$  (кг), жорсткістю  $k$  (Н/м), коефіцієнтом демпфування  $\mu$  (Нс/м), рис. 2 [3].

Динаміка системи приведенного типу описується рівнянням Лагранжа другого роду [4]:

$$\frac{d}{dt} \frac{T}{\dot{x}_i} - \frac{T}{x_i} - \frac{\Phi}{\dot{x}_i} + \frac{A_i}{x_i},$$

де  $T$  – кінетична енергія системи;  $\Phi$  – потенціальна енергія системи;  $\Phi$  – дисипативна функція Релея для системи;  $A_i$  – робота зовнішніх сил на віртуальних переміщеннях.

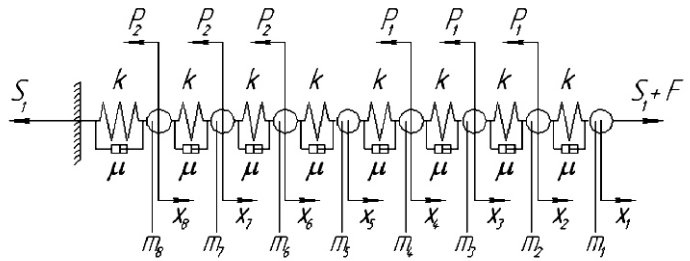


Рис. 2. Розрахункова динамічна система ланцюгового тягового органа ескалатора:  $x_i$  – координати мас, м

У результаті перетворень рівняння руху тіл динамічної системи ланцюгового тягового органа набудуть виду:

$$\begin{aligned} \ddot{x}_1 & (k(x_2 - x_1) - (\dot{x}_2 - \dot{x}_1) \mu) S_1 - F/m_1; \\ \ddot{x}_2 & (k(x_1 - 2x_2 + x_3) - (\dot{x}_1 - 2\dot{x}_2 + \dot{x}_3) \mu) P_1/m_2; \\ \ddot{x}_3 & (k(x_2 - 2x_3 + x_4) - (\dot{x}_2 - 2\dot{x}_3 + \dot{x}_4) \mu) P_1/m_3; \\ \ddot{x}_4 & (k(x_3 - 2x_4 + x_5) - (\dot{x}_3 - 2\dot{x}_4 + \dot{x}_5) \mu) P_1/m_4; \\ \ddot{x}_5 & (k(x_4 - 2x_5 + x_6) - (\dot{x}_4 - 2\dot{x}_5 + \dot{x}_6) \mu) P_2/m_5; \\ \ddot{x}_6 & (k(x_5 - 2x_6 + x_7) - (\dot{x}_5 - 2\dot{x}_6 + \dot{x}_7) \mu) P_2/m_6; \\ \ddot{x}_7 & (k(x_6 - 2x_7 + x_8) - (\dot{x}_6 - 2\dot{x}_7 + \dot{x}_8) \mu) P_2/m_7; \\ \ddot{x}_8 & (k(x_7 - 2x_8) - (\dot{x}_7 - 2\dot{x}_8) \mu) P_2/m_8. \end{aligned}$$

Динамічні зусилля в ділянках ланцюгового тягового органа ескалатора визначаються як

$$\begin{aligned} y_1 &= (x_1 - x_2)k; & y_2 &= (x_2 - x_3)k; & y_3 &= (x_3 - x_4)k; \\ y_4 &= (x_4 - x_5)k; & y_5 &= (x_5 - x_6)k; & y_6 &= (x_6 - x_7)k; \\ y_7 &= (x_7 - x_8)k; & y_8 &= x_8 k. \end{aligned}$$

Параметри динамічної системи ланцюгового тягового органа

| № з/п  | Найменування параметра  | Умовне позначення та розмірність | Значення параметра |
|--|---|----------------------------------|--------------------|
| 1  | Геометрична характеристика ділянки ланцюга  | $L$ , м                          | 23                 |
| 2  | Маси робочої гілки  | $m_1 = m_2 = m_3 = m_4$ , кг     | 2866,69            |
| 3  | Маси холостої гілки   | $m_5 = m_6 = m_7 = m_8$ , кг     | 5392,00            |
| 4  | Жорсткість ділянки ланцюгового тягового органа  | $k$ , Н/м                        | 24510637,92        |
| 5  | Коефіцієнт демпфування відрізка ланцюгового тягового органа завдовжки $L$   | $\mu$ , Нс/м                     | 202534,12          |
| 6  | Зусилля, що передається привідними зірочками з холостої гілки на робочу і прикладене до ланцюгового тягового органа у точці набігання | $S_1$ , Н                        | 55652,19           |
| <b>Зовнішні сили, що діють на ланцюговий тяговий орган</b>   |   |                                  |                    |
| 7  | Сила опору руху робочої гілки   | $P_1$ , Н                        | 54604,48           |
| 8  | Сила опору руху холостої гілки  | $P_2$ , Н                        | -17781,31          |
| <b>Зусилля, що розвивається двигуном у точці набігання ланцюгового органа на привідні зірочки, <math>F = F_{cm} + F_d</math></b> |   |                                  |                    |
| 9  | Статичне зусилля, що розвивається приводом, яке забезпечує статичну рівновагу системи   | $F_{cm}$ , Н                     | 110469,51          |
| 10   | Додаткове динамічне зусилля, що розвивається приводом   | $F_d$ , Н                        | Тестовий сигнал    |

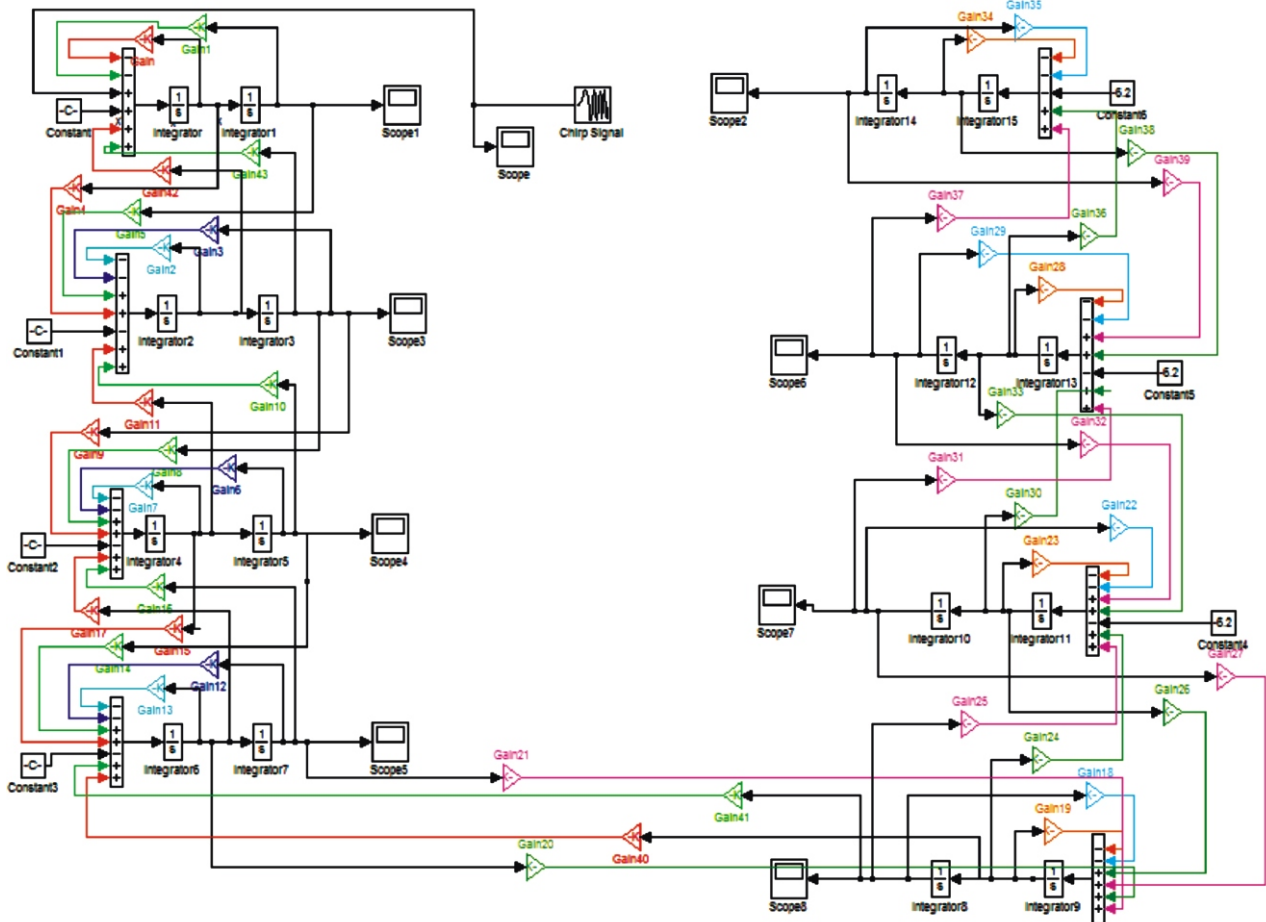


Рис. 3. Блок-схема восьмимасової системи ланцюгового тягового органа ескалатора

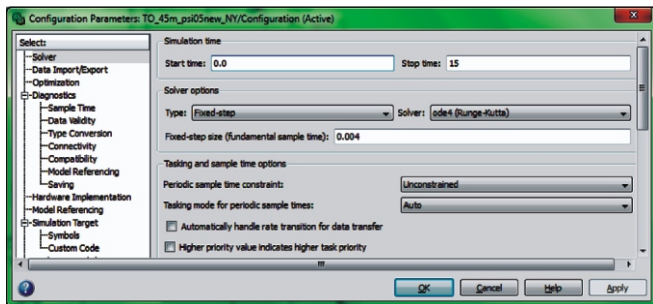


Рис. 4. Параметри розрахунку системи

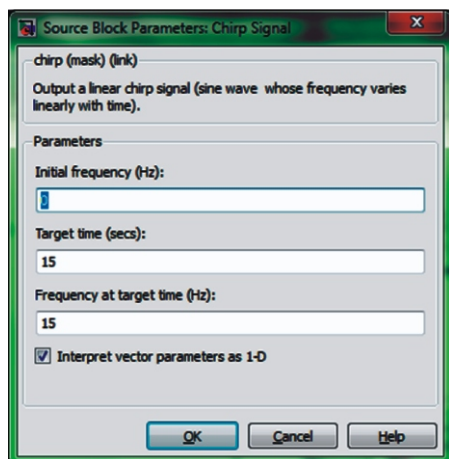


Рис. 5. Вікно введення параметрів блока Chirp Signal

Параметри системи ланцюгового тягового органа ескалатора висотою підйому 45 м наведені в таблиці. Режим роботи: підйом при повній завантаженості ескалатора. Детальне описання визначення параметрів системи можна знайти у монографії [1].

Для розрахунку рівнянь руху тіл динамічної системи ланцюгового тягового органа створена блок-схема восьмимасової системи за допомогою програмного комплексу Simulink MatLab [5, 6]. Simulink MatLab є ядром інтерактивного програмного комплексу, призначеного для математичного моделювання лінійних та нелінійних динамічних систем та пристроїв, представлених функціональною блок-схемою [7]. Блок-схема динамічної системи ланцюгового тягового органа ескалатора побудована за методом пониження похідної та наведена на рис. 3.

Побудована блок-схема розраховується за допомогою вбудованого алгоритму рішення диференціальних рівнянь із фіксованим кроком (Fixed-step) ode45, який реалізує метод Рунге-Кутта 4-го порядку (рис. 4).

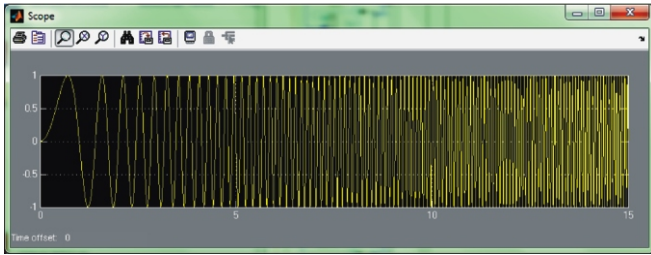


Рис. 6. Тестовий сигнал

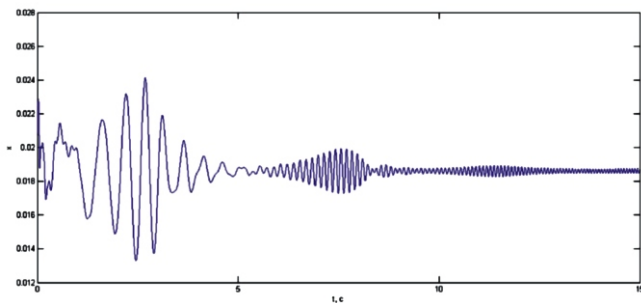


Рис. 7. Динамічна характеристика першої маси

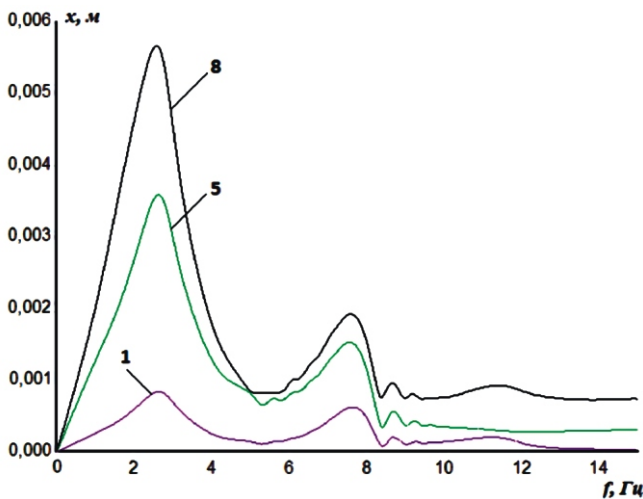


Рис. 8. АЧХ тягового органа ескалятора:  
1, 5, 8 – перша, п'ята та восьма маси відповідно

Як основну динамічну характеристику ланцюгового тягового органа ескалятора досліджуємо амплітудно-частотну характеристику (АЧХ).

Для отримання оцінок АЧХ тягового органа користувались наступним методом. В якості тестового використаний полігармонічний сигнал, що є сумою 100 синусоїд із кроком за частотою  $f = 0,1$  Гц.

Полігармонічний сигнал змодельований за допомогою блока Chirp Signal, параметри якого наведені на рис. 5. Призначення блока – формування синусоїдальних коливань, частота яких змінюється лінійно. Параметри блока Chirp Signal:

1. Initial frequency – початкова частота, Гц;
2. Target time – час зміни частоти, с;
3. Frequency at target time – кінцеве значення частоти, Гц [8].

Візуалізація заданого тестового сигналу наведена на рис. 6, переміщення першої маси – на рис. 7.

На основі отриманих результатів побудована амплітудно-частотна характеристика тягового органа ескалятора (рис. 8).

Аналіз АЧХ ланцюгового тягового органа дозволяє встановити наступне:

- перша зона АЧХ у смузі від 2 до 3,5 Гц характеризується винятково високими коефіцієнтами посилення АЧХ;
- резонансна частота першої форми коливань ланцюгового тягового органа ескалятора 2,5 Гц;
- для навантажених ділянок ланцюгового тягового органа проявляється друга зона посилення АЧХ у смузі від 6,5 до 7,5 Гц.

Проведений аналіз ланцюгового тягового органа ескалятора може ефективно використовуватись для визначення динамічних характеристик усього класу транспортувальних машин із ланцюговим тяговим органом.

[1] Підійомно-транспортні машини: Розрахунки підймальних і транспортувальних машин: Підручник / В.С. Бондарев, О.І. Дубинець, М.П. Колісник та ін. – К.: Вища шк., 2009. – 734 с.: іл.

[2] Бондарев С.В., Горбатенко Ю.П. Оценка прочности деталей и узлов эскалатора при многоцикловом нагружении на этапе проектирования // Вестн. НТУУ «КПИ». Сер. Машиностроение. – К.: НТУУ «КПИ». – 2007. – 54. – С. 199–214.

[3] Олейник А.М. Эскалаторы / А.М. Олейник, И.Н. Поминов; – М.: «Машиностроение», 1973. – С. 256.

[4] Чугреев Л.И. Динамика конвейеров с цепным тяговым органом. М. «Недра», 1976. – 160 с.

[5] Лазарев Ю. Моделирование процессов и систем в MATLAB. учебный курс. – СПб.: Питер; Киев: Издательская группа BHV, 2005. – 512 с.: ил.

[6] Matlab.Toolboxes & Simulink, <http://www.softline.ru>.

[7] Дьяконов В.П. Simulink 5/6/7: Самоучитель. – М.: ДМК\_Пресс, 2008. – 784 с.: ил.

[8] Черных И.В. «Simulink: Инструмент моделирования динамических систем», <http://matlab.exponenta.ru/simulink/book1/index.php>.

Надійшла 23.12.2013 р.